

Las reglas de Bohr fueron generalizadas a sistemas con más grados de libertad por Arnold Sommerfeld.

Sommerfeld basó su generalización en las variables acción-ángulo de la Mecánica Clásica.

Consideremos un sistema de  $n$  grados de libertad y un sistema de coordenadas canónicas donde la ecuación de Hamilton-Jacobi es separable. Sean las coordenadas canónicas  $q_i$ ,  $p_i$ . Supongamos además que en este sistema las coordenadas y momentums son funciones periódicas del tiempo. La variable de acción, asociada al grado de libertad  $i$  es  $A_i = \oint p_i dq_i$ . La integral se extiende sobre los valores clásicos permitidos de  $q_i$ .  $A_i$  es el área en espacio de fases correspondiente al movimiento clásico de la coordenada  $q_i$ .

Reglas de Bohr Sommerfeld:  $\oint p_i dq_i = n_i h$

$$H = \frac{p^2}{2m} + \frac{1}{2}m\omega^2x^2 = E \quad p = \sqrt{2m\left(E - \frac{1}{2}m\omega^2x^2\right)} \quad x_{\pm} = \pm\sqrt{\frac{2E}{m\omega^2}}$$

$$4 \int_0^{x_+} \sqrt{2m\left(E - \frac{1}{2}m\omega^2x^2\right)} dx = nh$$

$$\sqrt{\frac{m\omega^2}{2}}x = \sqrt{E} \cos \alpha, \alpha(x_+) = 0 \quad 4\sqrt{2mE} \sqrt{\frac{2E}{m\omega^2}} \int_0^{\frac{\pi}{2}} d\alpha \sin^2 \alpha =$$

$$\cos 2\alpha = 1 - 2\sin^2 \alpha$$

$$8 \frac{E\pi}{\omega 4} = nh$$

$$E = nh\nu$$

La integral de acción se puede encontrar de manera directa usando variable compleja. Miremos el plano complejo  $x$ . La integral de acción corresponde a la trayectoria que encierra los dos puntos de ramificación de  $p(x)$  con un corte entre ellos. En el plano complejo, calculamos la integral de acción, mirando el plano complementario. Allí no hay corte: La función es analítica en todas partes excepto por un polo en  $x = \infty$ . Usando el teorema de Cauchy, se tiene:

$$\oint p dx = 2\pi i \operatorname{Res}(p(x)) \quad x = \infty$$

$$x = t^{-1}$$

$$dx = -\frac{1}{t^2} dt,$$

$$\sqrt{2m\left(E - \frac{1}{2}m\omega^2t^{-2}\right)} \frac{1}{t^2} dt$$

$$\sqrt{2m\left(E - \frac{1}{2}m\omega^2 t^{-2}\right)} \frac{1}{t^2} \Big|_{t=0} = \frac{m\omega i}{t^3} \sqrt{\left(1 - \frac{2E}{m\omega^2} t^2\right)} =$$

$$\frac{m\omega i}{t^3} \left(1 - \frac{E}{m\omega^2} t^2\right) \quad \text{Res} = -\frac{E}{\omega} i$$

$$\oint p dx = \frac{2\pi E}{\omega}$$

Dada la conservación del momentum angular para potenciales centrales, el movimiento es planar.

$$E = \frac{p_r^2}{2m} + \frac{p_\varphi^2}{2mr^2} - \frac{\alpha}{r}$$

$$\oint p_\varphi d\varphi = n_\varphi h = 2\pi p_\varphi, \quad p_\varphi = n_\varphi \hbar \quad p_r = \sqrt{2m \left( E - \frac{p_\varphi^2}{2mr^2} + \frac{\alpha}{r} \right)}$$

$p_r$  tiene dos puntos de ramificación. Cortamos el plano uniendo estos dos puntos a lo largo del eje  $\text{Re } r$ . En el plano complementario sólo hay: un polo en infinito y un polo en  $r = 0$ .

$$\frac{1}{t^2} \sqrt{2mE - p_\varphi^2 t^2 + 2m\alpha t} = \frac{1}{t^2} \sqrt{2mE} \sqrt{1 - \frac{p_\varphi^2}{2mE} t^2 + \frac{\alpha}{E} t}$$

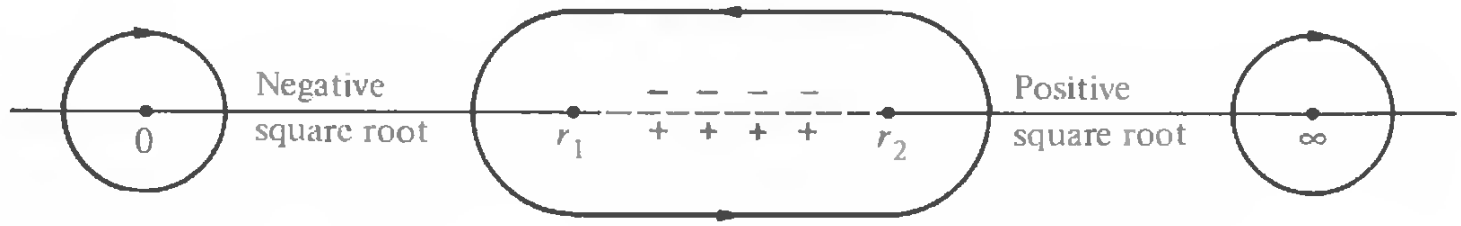
$$\text{Res}_\infty = \sqrt{2mE} \frac{1}{2} \frac{\alpha}{E} = \alpha \sqrt{\frac{m}{2E}} \quad \text{Res}_0 = p_\varphi i$$

$$\oint p_r dr = 2\pi i \left( \alpha \sqrt{\frac{m}{2E}} + p_\varphi i \right) = n_r h$$

$$-\alpha^2 \frac{m}{2E} = (n_r + n_\varphi)^2 \hbar^2 \quad E = -\frac{m\alpha^2}{2(n_r + n_\varphi)^2 \hbar^2}$$

El espectro es degenerado. La energía sólo depende del número cuántico principal  $n = n_r + n_\varphi$ , lo que corresponde a varios valores de  $n_r, n_\varphi$ . Esto se manifiesta en el espectro

como líneas gruesas, que con mayor resolución aparecen como dos líneas delgadas muy cercanas (Estructura fina).



**Figura 1.**

Atomo de Hidrógeno Relativista:  $L = -mc^2\sqrt{1 - \frac{v^2}{c^2}} + \frac{a}{r}$ ,  $v^2 = \dot{r}^2 + r^2\dot{\varphi}^2$ ,  $p_\varphi = \frac{\partial L}{\partial \dot{\varphi}} = m\gamma r^2\dot{\varphi}$

$$p_r = m\gamma\dot{r}, \quad p_r^2 + \frac{p_\varphi^2}{r^2} = m^2\gamma^2\dot{r}^2 + m^2\gamma^2r^2\dot{\varphi}^2 = m^2\gamma^2v^2 = \frac{-m^2c^4 + K^2}{c^2} = m^2\gamma^2c^2\left(1 - 1 + \frac{v^2}{c^2}\right).$$

$$p_\varphi = n_\varphi\hbar, \quad E = K - \frac{a}{r}, \quad p_r = \sqrt{-m^2c^2 + \frac{(E + \frac{a}{r})^2}{c^2} - \frac{p_\varphi^2}{r^2}}$$

- Dos puntos de ramificación. Corte a lo largo del eje  $\text{Re } r$ .

- Polo en  $r = 0$ .  $\text{Res} = \sqrt{\frac{a^2}{c^2} - p_\varphi^2}$

- $r = \frac{1}{t}, \frac{1}{t^2} \sqrt{-m^2c^2 + \frac{(E + at)^2}{c^2} - p_\varphi^2 t^2} = \frac{1}{t^2} \sqrt{-m^2c^2 + \frac{E^2}{c^2}} \left(1 + \frac{aEt}{(-m^2c^4 + E^2)}\right)$ ,  $\text{Res} = -i \frac{aE}{(m^2c^4 - E^2)} \sqrt{m^2c^2 - \frac{E^2}{c^2}} = -\frac{iaE}{c^2 \sqrt{m^2c^2 - \frac{E^2}{c^2}}}$

- $\frac{aE}{c^2 \sqrt{m^2c^2 - \frac{E^2}{c^2}}} - \sqrt{-\frac{a^2}{c^2} + p_\varphi^2} = n_r\hbar$

- $\left(\frac{a}{c^2}\right)^2 E^2 = \left(n_r\hbar + \sqrt{-\frac{a^2}{c^2} + p_\varphi^2}\right)^2 \left(m^2c^2 - \frac{E^2}{c^2}\right)$

$$E^2 = \frac{m^2 c^2 \left( n_r \hbar + \sqrt{-\frac{a^2}{c^2} + p_\varphi^2} \right)^2}{\left( \frac{a}{c^2} \right)^2 + \frac{\left( n_r \hbar + \sqrt{-\frac{a^2}{c^2} + p_\varphi^2} \right)^2}{c^2}}, \quad E = \frac{m c^2 \left( n_r \hbar + \sqrt{-\frac{a^2}{c^2} + p_\varphi^2} \right)}{\sqrt{\frac{a^2}{c^2} + \left( n_r \hbar + \sqrt{-\frac{a^2}{c^2} + p_\varphi^2} \right)^2}}$$

$$E = \frac{m c^2 \left( n_r \hbar + \sqrt{-\frac{a^2}{c^2} + p_\varphi^2} \right)}{\sqrt{\frac{a^2}{c^2} + \left( n_r \hbar + \sqrt{-\frac{a^2}{c^2} + p_\varphi^2} \right)^2}} = \frac{m c^2}{\sqrt{1 + \frac{a^2}{c^2} \frac{1}{\left( n_r \hbar + \sqrt{-\frac{a^2}{c^2} + p_\varphi^2} \right)^2}}}$$

$$E = \frac{m c^2}{\sqrt{1 + \frac{a^2}{c^2} \frac{1}{\left( n_r \hbar + \sqrt{-\frac{a^2}{c^2} + n_\varphi^2 \hbar^2} \right)^2}} \sim$$

$$m c^2 - \frac{m a^2}{2(n_r + n_\varphi)^2 \hbar^2} + \frac{m \left( -1 - 4 \frac{n_r}{n_\varphi} \right) \frac{a^4}{c^2}}{8 (n_r + n_\varphi)^4 \hbar^4} +$$

$$m c^2 - \frac{m a^2}{2(n_r + n_\varphi)^2 \hbar^2} \left[ 1 + \frac{2a^2}{c^2 \hbar^2 (n_r + n_\varphi)^2} \left( \frac{1}{8} + \frac{1}{2} \frac{n_r}{n_\varphi} \right) \right], \quad n = n_r + n_\varphi$$

$$E = m c^2 - \frac{m a^2}{2n^2 \hbar^2} \left[ 1 + \frac{a^2}{c^2 \hbar^2 n} \left( \frac{1}{4n} + \frac{n - n_\varphi}{n_\varphi n} \right) \right] =$$

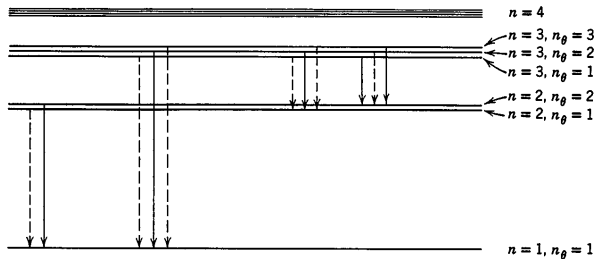
$$m c^2 - \frac{m a^2}{2n^2 \hbar^2} \left[ 1 + \frac{a^2}{c^2 \hbar^2 n} \left( \frac{1}{n_\varphi} - \frac{3}{4n} \right) \right] =$$

$$E = m c^2 - \frac{m a^2}{2n^2 \hbar^2} \left[ 1 + \frac{\alpha^2}{n} \left( \frac{1}{n_\varphi} - \frac{3}{4n} \right) \right]$$

El espectro depende de  $n_r, n_\varphi$  por separado. La degeneración se ha eliminado.

$$\alpha = k \frac{e^2}{\hbar c} = \text{constante de estructura fina} = 7.297 \times 10^{-3} \simeq \frac{1}{137}$$

Cuando se examinan las líneas del **espectro del hidrógeno** a una resolución muy alta, se encuentran que son dobletes poco espaciados entre sí ( $\sim 10^{-4}$  veces la separación entre líneas adyacentes). Esta división se llama estructura fina.



**Figura 2.**

La separación (estructura fina) de algunos niveles del átomo de H. Las transiciones posibles se denotan por una flecha sólida.

- Las transiciones correspondientes a flechas sólidas se observan.
- Las transiciones correspondientes a flechas punteadas no se observan.
- Las transiciones ocurren sólo si  $n_{\varphi_i} - n_{\varphi_f} = \pm 1$ . Regla de selección.